

# مطالعه شکل‌شناسی و گاز تراوایی در غشای اتیلن-وینیل استات تهیه شده با فرایند وارونگی فاز گرمایی

Study of Morphology and Gas Permeability in Ethylene / Vinyl Acetate Membrane Prepared via Thermal Phase Inversion

سید عباس موسوی<sup>۱</sup>، مرتضی صادقی<sup>۲\*</sup>، رضا رosta آزادا، مصطفی احمدی روشن<sup>۱</sup>

۱- تهران، دانشگاه صنعتی شریف، دانشکده مهندسی شیمی و نفت، صندوق پستی ۱۳۶۵/۹۴۶۵

۲- تهران، دانشگاه تربیت مدرس، دانشکده فنی و مهندسی، گروه مهندسی پلیمر، صندوق پستی ۱۴۱۱۵/۱۴۳

دریافت: ۸۴/۱۲/۲، پذیرش: ۸۵/۴/۱۳

## چکیده

در این پژوهش، نمونه‌های غشای کوپلیمر اتیلن-وینیل استات با انحلال دو نوع اتیلن-وینیل استات (EVA) با مقادیر ۱۸ و ۲۸ درصد وزنی وینیل استات به روش وارونگی فاز گرمایی در حلال تترا هیدروفوران ساخته و از نظر شکل‌شناسی و گاز تراوایی بررسی شدند. آزمایش‌های تراوایی گازهای اکسیژن، نیتروژن و کربن دیوکسید در محدوده فشارهای عملیاتی ۲ تا ۱۱ atm انجام شد، همچنین شکل‌شناسی غشاهای ساخته شده به وسیله میکروسکوپ الکترون پویشی مشخص شد. نتایج آزمایشها نشان می‌دهد که تراوایی کربن دیوکسید به طور قابل توجهی بیشتر از گازهای اکسیژن و نیتروژن بوده و مقدار تراوایی اکسیژن و نیتروژن در هر دو نوع EVA با تغییرات فشار ثابت است، در حالی که تراوایی کربن دیوکسید با افزایش فشار از ۱۸ به ۲۳ barrer همچنین افزایش مقدار گروههای وینیل استات موجب افزایش تراوایی کربن دیوکسید در پلیمر شد. تغییرات گرینش پذیری O<sub>2</sub>/N<sub>2</sub> با تغییر فشار بر خلاف CO<sub>2</sub>/N<sub>2</sub> ناچیز است. بررسی‌های شکل‌شناسی ساختار غشاهای تهیه شده، وجود ساختار پوسته‌ای پیوسته نامتقارن، مرکب از پوسته چگال بسیار نازک را با زیر لایه متخلخل نشان می‌دهد.

## واژه‌های کلیدی

غشا، اتیلن-وینیل استات، تراوایی، جداسازی گاز، شکل‌شناسی

## مقدمه

روشهای تقطیر و جذب سبب شده است تا کاربرد این فناوری در صنعت، روز به روز افزایش یافته و به تدریج توجه مراکز و گروههای پژوهشی سراسر دنیا به آن معطوف شود. استفاده از مواد پلیمری در ساخت غشا از موضوعات مورد توجه بوده و پژوهشگران سعی کرده‌اند تا با بکارگیری

فرایند جداسازی گاز با توجه به مقدار خلوص گاز، سهولت کاربرد و هزینه‌های عملیاتی به روشهای مختلفی انجام می‌شود. در سالهای اخیر روش غشایی در صنعت جداسازی گاز جایگاه ویژه‌ای یافته و بسیار مورد توجه واقع شده است. هزینه‌های کم تولید گاز به روش غشایی نسبت به

## Key Words

membrane, ethylene/vinyl acetate, permeability, gas separation, morphology

جدول ۱ خواص دو نوع کوپلیمر EVA استفاده شده در این پژوهش.

شاخص جریان مذاب (g/10 min)	چگالی (g/cm³)	نوع کوپلیمر
۱/۷	۰/۹۴۰	EVA-۱۸
۱/۸	۰/۹۴۸	EVA-۲۸

مناسبی از کوپلیمر EVA با درصدهای وزنی مختلف وینیل استات به روش فرایند وارونگی فاز گرمایی ساخته شود. با انجام آزمون تراوایی گازهای اکسیژن، نیتروژن و کربن دیوکسید اثر تغییر ساختار شیمیایی و شرایط عملیاتی روی خواص تراوایی این غشاها بررسی شد. شکل شناسی ساختار عرضی غشاها حاصل نیز با تصاویر SEM مطالعه شد.

## تجربی

### مواد

در این پژوهش، از حلal تترا هیدروفوران (THF) و کوپلیمر EVA با مقادیر ۱۸ و ۲۸ درصد وزنی وینیل استات برای ساخت غشا استفاده شد که به ترتیب با EVA-۱۸ و EVA-۲۸ معرفی شده‌اند. این پلیمرها به ترتیب محصول شرکتهای Exxon Chemical Belgium (بلژیک) و Asia Polymer Corporation (تایوان) هستند. بعضی از خواص این پلیمرها در جدول ۱ آمده است.

### دستگاهها

برای بررسی تراوایی و گزینش‌پذیری غشاها تهیه شده از مدول آزمون گاز تراوایی، که توسط مؤلفان منطبق با استاندارد ASTM D1434 (شکل ۱) ساخته شد، استفاده شده است. به منظور ارزیابی خطای انجام آزمایش‌های گاز تراوایی، برخی از آزمونهای انجام شده برای گازها در فشارهای مختلف به طور تصادفی انتخاب و آزمایش تراوایی برای آنها تکرار شد. نتایج آزمونهای انجام شده نشانگر وجود خطای در محدوده ۵ تا ۸ درصد در انجام آزمایش‌های گاز تراوایی است.

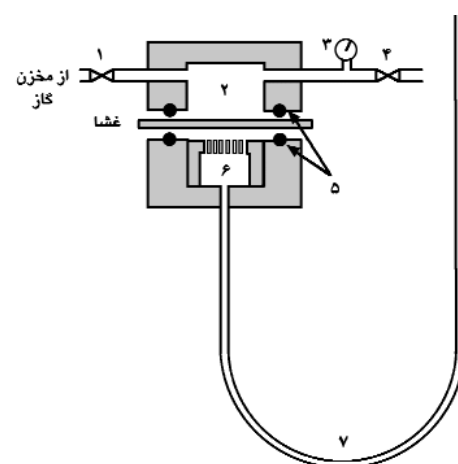
برای بررسی شکل شناسی غشاها تولید شده، میکروسکوپ الکترون پویشی (SEM) مدل XL<sup>30</sup> ساخت شرکت Philips کشور هلند بکار گرفته شد. نمونه‌های غشا ابتدا در نیتروژن مایع در مقطع عرضی شکسته شده، سپس لایه‌ای بسیار نازک به ضخامت ۰۲۵۰ Å از فلز طلا روی سطح

فرایندهای مختلف ساخت، غشاها مناسبی برای جداسازی گازها تولید کنند [۱]. از این‌رو، پژوهش‌های زیادی در راستای بهبود کارایی مواد مختلف پلیمری اعم از شیشه‌ای یا لاستیکی برای بکارگیری در ساخت غشاها جداسازی گاز انجام شده است [۲-۹].

پلیمرهای مهندسی از گروههای پلی‌سولفونهای آروماتیک [۲]، پلی‌کربنات‌ها [۳]، پلی‌آریلات‌ها [۴، ۵]، پلی‌آریل‌کتونهای [۶]، پلی‌آریلن‌اترهای [۷] و پلی‌ایمیدهای [۸، ۹] خواص جالب توجهی را به عنوان مواد مورد استفاده در غشا نشان داده‌اند. گروهی از این مواد نظری پلی‌سولفون، پلی‌کربنات، پلی(۴-فنیلن‌اکسید) و تعدادی از پلی‌ایمیدها به طور تجاری وارد بازار شده‌اند. پتانسیل کاربرد پلیمر به عنوان غشا ای جداسازی گاز وابسته به مقدار تراوایی و گزینش‌پذیری گاز در غشاست، یعنی هرچه تراوایی و گزینش‌پذیری پلیمر بیشتر باشد، آن پلیمر برای استفاده در سامانه جداسازی مناسب‌تر است. به همین علت در سالهای اخیر، مطالعه و پژوهش پیرامون تراوایی و بهینه‌سازی کارایی غشاها پلیمری مورد توجه قرار گرفته است. فرایند ساخت یکی از عوامل مهم و اثرگذار روی خواص غشا حاصل است. روش‌های مختلفی برای ساخت غشاها پلیمری وجود دارد که در این بین روش وارونگی فاز اهمیت زیادی دارد. روش وارونگی فاز به سه نوع خشک، مرطوب و گرمایی دسته‌بندی می‌شود [۱]. ساختار غشا حاصل در هر یک از این روش نسبت به دیگری متفاوت است. بنابراین، متناسب با کاربرد غشا باید روش مناسب انتخاب شود. استفاده از پلی‌اتیلن و کوپلیمرهای آن در جداسازی گاز و در صنایع بسته‌بندی همواره مورد توجه بوده است [۱، ۱۰]. در سالهای اخیر برخی از پژوهشگران رفتار جداسازی گاز در غشا کوپلیمر اتیلن - وینیل استات (EVA) را به عنوان یکی از کوپلیمرهای اتیلن بررسی کرده‌اند [۱۱-۱۴]. در پژوهشی با فرایند وارونگی فاز خشک و استفاده از حلal متان دی کلرید غشاها ای از این پلیمر (با درصدهای مختلفی از وینیل استات) و آمیزه آن با PVC ساخته شد و تراوایی آب، اکسیژن و کربن دیوکسید بررسی شد [۱۲، ۱۳]. بررسی نتایج حاصل نشان می‌دهد که با افزایش مقدار وینیل استات در کوپلیمر مقدار گزینش‌پذیری H<sub>2</sub>O/H<sub>2</sub>O/CO<sub>2</sub> و افزایش می‌یابد. گاز تراوایی اکسیژن و نیتروژن در غشاها EVA ساخته شده با فرایند وارونگی فاز گرمایی نیز مطالعه و شکل شناسی آنها بررسی شد. ارزیابی نتایج نشان می‌دهد که غشا حاصل دارای ساختار پوسته‌ای همراه با زیرلا یه متخلخل است.

از آنجا که یکی از عوامل اثرگذار بر کارایی نهایی غشا حاصل از فرایند وارونگی فاز، نوع حلal بکار رفته و مقدار فراریت آن است [۱]، در این پژوهش سعی شده است تا با انتخاب حلal تترا هیدروفوران غشاها

(دماهی محیط) انجام شد. تغییر ناگهانی دما منجر به ژل شدن و در نتیجه رسوب کردن پلیمر می‌شود [۱]. ریخته‌گری محلول پلیمر روی صفحات شیشه‌ای به ابعاد  $15 \times 15\text{ cm}^2$  که دور تا دور آن لايه‌های چسب قرار گرفته است، انجام می‌شود. برای ریخته‌گری محلول، مقداری از آن را در راستای یک ضلع حفره یاد شده ریخته، با کمک تیغه راهنمای، محلول در سراسر حفره ایجاد شده به طور یکنواخت روی شیشه پخش می‌شود. ریخته‌گری باید به سرعت و قبل از ژل شدن محلول انجام شود تا باقیمانده حلال در دمای محیط تبخیر شده و فیلم پلیمری یکنواخت بدست آید. برای جدا کردن این فیلم از سطح شیشه، مجموعه شیشه و فیلم داخل حمام آب مقطر قرار گرفت.



شکل ۱ طرح کلی مدول گاز تراوایی و اجزای آن: (۱) شیر کنترل خوراک، (۲) محفظه خوراک، (۳) فشار سنج، (۴) شیر تنظیم فشار و جریان خوراک، (۵) واشر، (۶) صفحه نگهدارنده غشا و (۷) ستون آب.

## نتایج و بحث

### گاز تراوایی

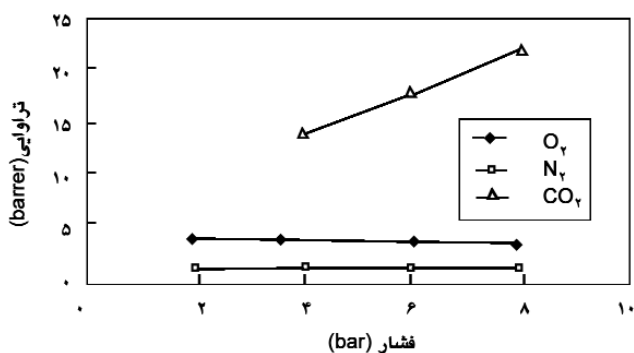
گاز تراوایی و گزینش‌پذیری غشاهای ساخته شده از کوپلیمر اتیلن-وینیل استات با ۱۸ و ۲۸ درصد وزنی وینیل استات، نسبت به سه گاز اکسیژن، نیتروژن و کربن دیکسید در محدوده فشارهای عملیاتی مختلف، بررسی شد. افزایش فشار از یک سو سبب افزایش سرعت گاز عبوری از غشا می‌شود، اما از سوی دیگر علاوه بر کاهش عمر غشا، موجب افزایش هزینه‌های تولید آن می‌شود که از نظر اقتصادی چندان مقرر نبوده است. از این‌رو، آزمایش تراوایی روی غشاهای ساخته شده در محدوده فشارهای ۲ تا ۱۱ bar (حداقل ۳ فشار مختلف) انجام شد [۱۵]. نتایج حاصل از این آزمایشها در شکل‌های ۲ و ۳ ارائه شده است. چنانچه مشهود است، گاز تراوایی کربن دیکسید به طور قابل توجهی بیشتر از گاز تراوایی

مورد مطالعه پوشش داده شد.

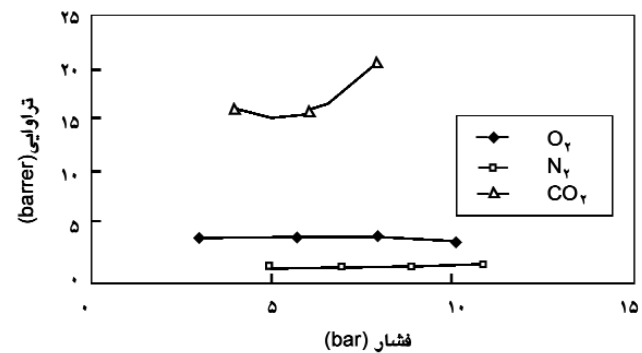
### روشها

#### ساخت غشا

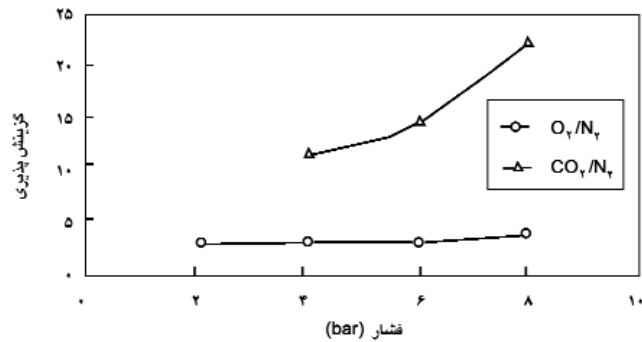
در این پژوهش، ساخت غشا بر اساس فرایند وارونگی فاز گرمایی انجام شده است. در این فرایند ابتدا محلول پلیمری با انحلال پلیمر در حلال THF و با غلاظت ۶/۵ درصد وزنی پلیمر در محدوده دمایی  $50-60^\circ\text{C}$  تهیه شد. به علت دمای جوش کم حلال، فرایند انحلال پلیمر در حلال با عملیات پیوسته بازیافت حلال به وسیله چگالنده، انجام شد. سپس، به کمک تیغه راهنمای کمتر از دمایی محلول در دمایی گاز تراوایی



شکل ۳ نمودار تغییرات تراوایی گازهای مختلف در غشای EVA-۲۸ با فشار خوراک.



شکل ۲ نمودار تغییرات تراوایی گازهای مختلف در غشای EVA-۱۸ با فشار خوراک.

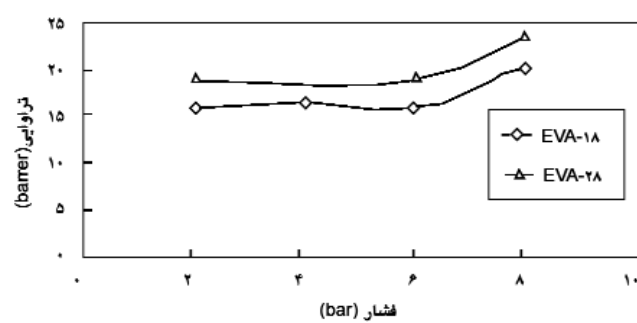


شکل ۵ نمودار تغییرات گزینش پذیری  $O_2/N_2$  و  $CO_2/N_2$  با فشار خوراک در غشاها حاصل از EVA با ۱۸ و ۲۸ درصد وینیل استات.

دو گاز در بستر این پلیمر ساز و کار غالب در تراوایی این دو گاز نفوذ است. همچنین، در شکل‌های ۲ و ۳ مشاهده می‌شود، مقدار تراوایی اکسیژن و نیتروژن در هر دو نوع EVA با ۱۸ و ۲۸ درصد وزنی وینیل استات با تغییرات فشار ثابت بوده و تغییر محسوسی در آنها مشاهده نمی‌شود، در حالی که تراوایی گاز کربن دیوکسید با افزایش فشار در هر دو غشا  $CO_2$  با ۱۸ و ۲۸ درصد وزنی وینیل استات به علت افزایش اثر نرم‌کنندگی  $CO_2$  در پلیمر افزایش می‌یابد. چنان‌چه ذکر شد، گاز قطبی  $CO_2$  با گروه‌های قطبی وینیل استات موجود در زنجیر اصلی پلیمر EVA برهمکنش دارد، با افزایش فشار گاز ورودی غلظت گاز  $CO_2$  در پلیمر افزایش یافته و آثار نرم‌کنندگی این گاز بر پلیمر بیشتر می‌شود. با افزایش نرمی زنجیر پلیمر، تحرك زنجیر و نفوذ گاز در بستر پلیمر افزایش یافته، بدین ترتیب مقدار گاز تراوایی زیاد می‌شود [۲۲-۲۴].

با مقایسه تراوایی  $CO_2$  در دو نوع EVA با ۱۸ و ۲۸ درصد وزنی وینیل استات مشاهده می‌شود که تراوایی  $CO_2$  با افزایش مقدار وینیل استات در زنجیر اصلی پلیمر افزایش می‌یابد (شکل ۴). افزایش مقدار گروه‌های قطبی وینیل استات در زنجیر پلیمر منجر به افزون شدن برهمکنش گاز کربن دیوکسید با پلیمر شده، موجب افزایش اتحال و تراوایی این گاز در پلیمر خواهد شد. در ساختار کوپلیمر اتیلن - وینیل استات با ۲۸ درصد وزنی وینیل استات، گروه‌های قطبی بیشتری (۱۰ درصد بیشتر از EVA-۱۸) وجود دارد. افزایش ۱۰ درصدی گروه‌های قطبی وینیل استات در ساختار EVA-۲۸ نسبت به EVA-۱۸ منجر به افزایش ۱۳ درصدی گاز تراوایی کربن دیوکسید در EVA-۲۸ نسبت به EVA-۱۸ شده است.

مقایسه تراوایی گازهای اکسیژن و نیتروژن در غشای EVA-۱۸ نسبت



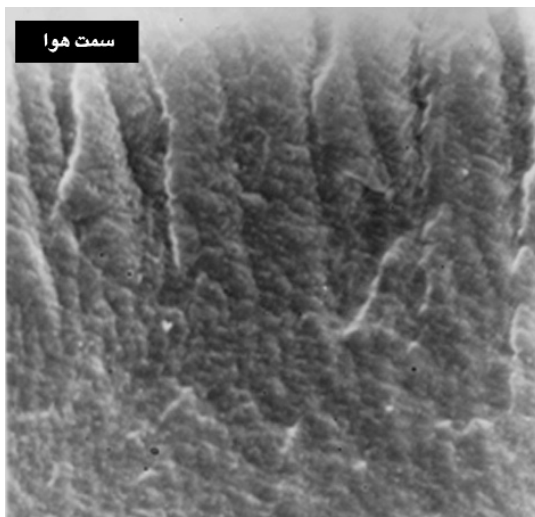
شکل ۴ نمودار تغییرات گاز تراوایی  $CO_2$  در غشاها EVA با ۱۸ و ۲۸ درصد وینیل استات با فشار خوراک.

اکسیژن و نیتروژن است.

به طور کلی، گاز تراوایی غشاها پلیمری از طریق سازوکار انحلال-نفوذ انجام می‌شود. بر این اساس، ضریب گاز تراوایی غشاها پلیمری که نشان دهنده قابلیت پلیمر در انتقال مولکول گاز از وجهی به وجهی دیگر است، به شکل حاصل ضرب ضریب انحلال در ضریب نفوذ نشان داده می‌شود:

$$P = D \times S \quad (1)$$

در این معادله  $P$  و  $S$  به ترتیب ضرایب تراوایی، نفوذ و انحلال است. بنابراین، مقدار شار تراوایی یک گاز از غشاها پلیمری به ضریب انحلال‌پذیری (مقدار انحلال‌پذیری) و مقدار نفوذ آن گاز در بستر پلیمر واپسی است. وجود گروه‌های الکترون‌خواه و قطبی در زنجیر اصلی پلیمر منجر به افزایش برهمکنش گازهای قطبی با زنجیر پلیمر و انحلال بیشتر گاز قطبی در پلیمر می‌شود. نتایج بررسیهای پژوهشگران بیانگر افزایش انحلال گاز  $CO_2$  با افزایش مقدار گروه‌های الکترون‌خواه یا قطبی در زنجیر پلیمر و افزایش تراوایی این گاز در پلیمر است [۲۱-۲۲]. وجود گروه‌های قطبی وینیل استات در کوپلیمر اتیلن - وینیل استات، موجب برهمکنش گاز کربن دیوکسید با گروه‌های قطبی  $COO$  شده و انحلال بیشتر آن را در پلیمر موجب می‌شود. این موضوع منجر به افزایش تراوایی کربن دیوکسید نسبت به گازهای اکسیژن و نیتروژن در این کوپلیمر می‌شود. بنابراین، واضح است که ساز و کار غالب در تراوایی کربن دیوکسید از کوپلیمر اتیلن - وینیل استات انحلال است. حال آن‌که به علت برهمکنش ناچیز دو گاز اکسیژن و نیتروژن با زنجیر پلیمر و انحلال کم این



شکل ۸ تصویر SEM از لایه مجاور با فصل مشترک هوا در غشای EVA با ۱۸ درصد وینیل استات با بزرگنمایی ۷۰۰۰.



شکل ۶ تصویر SEM از مقطع عرضی غشای EVA با ۱۸ درصد وینیل استات با بزرگنمایی ۱۰۰۰.

با توجه به برهمکنش بسیار ناچیز دو گاز خنثی اکسیژن و نیتروژن با گروههای قطبی وینیل استات در این کوپلیمر، افزایش مقدار وینیل استات در زنجیر پلیمر منجر به برهمن خوردن نظم زنجیرها در پلیمر شده، از مقدار بلورینگی زنجیرهای اتیلن در پلیمر می‌کاهد. با کاهش مقدار بلورینگی زنجیرها در کوپلیمر EVA-۲۸ نسبت به کوپلیمر EVA-۱۸ بخشهای بی‌شکل برای تراوش مولکولهای گاز افزایش یافته، بنابراین تراویش مولکولهای گاز از بستر این کوپلیمر تسهیل می‌شود. در نتیجه ضریب تراوایی گاز در کوپلیمر EVA-۲۸ نسبت به EVA-۱۸ افزایش می‌یابد. افزایش ۱۳ درصدی گاز تراوایی کربن دیوکسید در این دو کوپلیمر تأییدکننده این موضوع است.

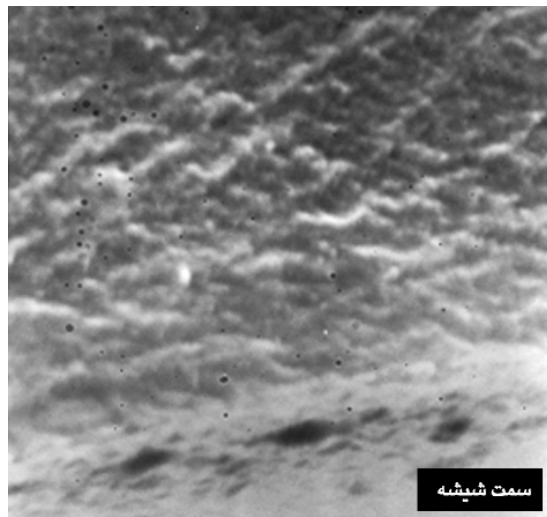
مقایسه مقدار گاز تراوایی کربن دیوکسید (۱۳ درصد) در کوپلیمر EVA-۲۸ با دو گاز اکسیژن و نیتروژن ( $2/36$  و  $7/5$  barrer)، مؤید غالب بودن ساز و کار انحلال در گاز تراوایی کربن دیوکسید از کوپلیمر اتیلن-وینیل استات است.

شکل ۵ تغییرات گزینش‌پذیری  $N_2$ ،  $O_2$  و  $CO_2$  را نسبت به فشار در EVA با ۲۸ درصد وزنی وینیل استات نشان می‌دهد. با افزایش فشار از  $2/8$  bar به  $8$  bar، مقدار گزینش‌پذیری از  $2/9$  به  $3/6$  افزایش می‌یابد، در حالی که گزینش‌پذیری  $CO_2/N_2$  با افزایش فشار از  $4$  تا  $8$  bar از  $14$  به  $22$  تغییر می‌کند. علت این امر چنان‌چه قبل‌اً ذکر شد افزایش اثر نرم‌کنندگی  $CO_2$  در پلیمر است.

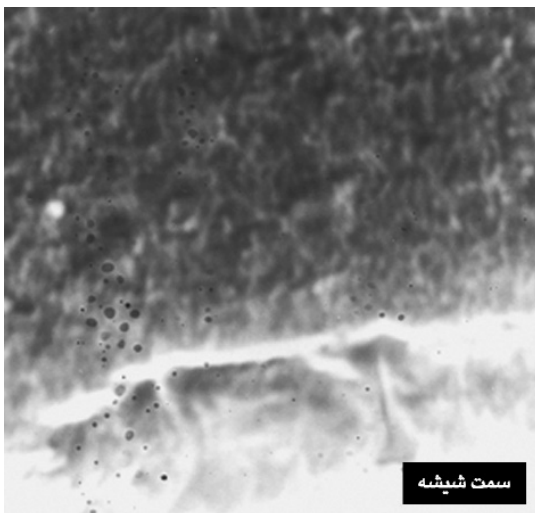
با افزایش فشار، تراوایی نیتروژن تغییرات محسوسی ندارد، حال آن‌که تراوایی  $CO_2$  افزایش قابل توجهی دارد، بنابراین گزینش‌پذیری این دو گاز

به غشای EVA-۲۸ نشان دهنده افزایش تراوایی این دو گاز به ترتیب از مقدار متوسط  $3/73$  barrer به  $3/82$  barrer برای اکسیژن و از مقدار متوسط  $1/19$  barrer به  $1/16$  barrer برای نیتروژن است. این افزایش تراوایی معادل  $2/36$  درصد برای اکسیژن و  $7/5$  درصد برای نیتروژن است. یادآور می‌شود که واحد barrer مطابق زیر تعریف می‌شود:

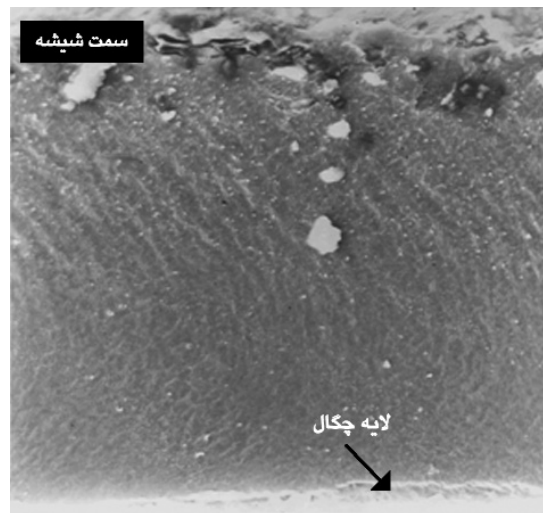
$$1 \text{ barrer} = 1 \times 10^{-10} \text{ cm}^3 (\text{STP}) \text{ cm/cm}^2 \text{ s cmHg}$$



شکل ۷ تصویر SEM از لایه مجاور سطح شیشه در غشای EVA با ۱۸ درصد وینیل استات با بزرگنمایی ۷۰۰۰.



شکل ۱۰ تصویر SEM از لایه مجاور سطح شیشه در غشای EVA با ۲۸ درصد وینیل استات با بزرگنمایی ۱۵۰۰۰.



شکل ۹ تصویر SEM از مقطع عرضی غشای EVA با ۲۸ درصد وینیل استات با بزرگنمایی ۲۰۰۰.

در فشارهای زیاد بیشتر خواهد شد.

## نتیجه‌گیری

در این پژوهش، به کمک فرایند وارونگی فاز گرمایی غشاها مناسب از کوپلیمر EVA با ۱۸ و ۲۸ درصد وزنی وینیل استات ساخته شد. برای ارزیابی قابلیت غشاها ساخته شده در جداسازی گازها، خواص تراوایی سه گاز اکسیژن، نیتروژن و کربن دیوکسید بررسی شد. آزمایشها تراوایی در محدوده فشارهای عملیاتی ۲ تا ۱۱ bar انجام شد، تا اثر فشار زیاد روی تراوایی و ضریب جداسازی ایده‌آل مشخص شود. نتایج حاصل از این بررسیها نشان می‌دهد که ساز و کار غالب در تراوایی گاز کربن دیوکسید از غشا، انحلال است. همچنین، مشاهده شد مقدار تراوایی اکسیژن و نیتروژن در هر دو نوع EVA با ۱۸ و ۲۸ درصد وزنی وینیل استات با تغییرات فشار ثابت است. در حالی که با افزایش فشار تراوایی کربن دیوکسید به علت اثر نرم‌کنندگی این گاز، افزایش می‌یابد. همچنین، مشاهده شد تراوایی  $\text{CO}_2$  با افزایش مقدار وینیل استات در زنجیر اصلی پلیمر، افزایش می‌یابد. نتایج حاصل از بررسی ضریب جداسازی ایده‌آل برای  $\text{CO}_2/\text{N}_2\text{O}/\text{N}_2$  نشان می‌دهد که تغییرات گزینش‌پذیری  $\text{CO}_2/\text{N}_2$  با فشار اندک است، درحالی که این تغییرات برای گزینش‌پذیری  $\text{CO}_2/\text{N}_2$  قابل توجه بوده و مقدار آن با دو برابر شدن فشار عملیاتی تقریباً ۱/۶ برابر می‌شود. نتایج حاصل از بررسی شکل شناسی ساختار غشاها ساخته شده، ایجاد ساختار پوسته‌ای پیوسته نامتقارن مرکب از پوسته چگال بسیار نازک را با زیر لایه متخلخل نشان می‌دهد. مقدار تخلخل از لایه چگال به سمت سطح مقابل آن افزایش می‌یابد. شکل ۷ لایه چگال بسیار نازک در تماس با زیر لایه متخلخل را با بزرگنمایی بیشتر نشان می‌دهد. شکل ۸، سطح مجاور با جو را با بزرگنمایی بیشتر نشان می‌دهد. در این سطح نه تنها لایه چگال وجود ندارد، بلکه به علت سرد شدن سریع این لایه و خروج سریع حلال در این سطح مقدار تخلخل نسبت به توده زیر لایه متخلخل بیشتر است.

شکل‌های ۹ و ۱۰ ساختار عرضی غشای EVA-۲۸ را در حلال THF با فرایند وارونگی فاز گرمایی نشان می‌دهد. براساس آن‌چه که در شکل ۹ نشان داده شده است، غشای EVA-۲۸ همانند غشای EVA-۱۸ دارای ساختار پوسته‌ای پیوسته نامتقارن است که از سمت شیشه به پوسته چگال بسیار نازک منتهی می‌شود. وجود پوسته نازک به وضوح در شکل ۱۰ نشان داده شده است. سمت مجاور هوا همانند غشای EVA-۱۸ فاقد پوسته بوده، مقدار تخلخل آن نیز بیشتر از توده پلیمر است.

## مراجع

1. Kesting R.E. and Fritzsche A.K., *Polymeric Gas Separation Membranes*, John Wiley and Sons, New York, 1993.
2. Aitken C.L., Koros W.J. and Paul D.R., Effect of Structural Symmetry on Gas Transport Properties of Polysulfone, *Macromolecules*, **25**, 3424-3434, 1992.
3. Hellum M.W., Koros W.J., Husk G.R. and Paul D.R., Gas Transport in Halogen-containing Aromatic Polycarbonates, *J. Appl. Polym. Sci.*, **43**, 1977-1986, 1991.
4. Pixton M.R. and Paul D.R., Gas Transport Properties of Polyarylates, Part I. Connector and Pendant Group Effects, *J. Polym. Sci., Part B: Polym. Phys.*, **33**, 1135-1145, 1995.
5. Pixton M.R. and Paul D.R., Gas Transport Properties of Polyarylates, Part II. Tetrabromination of the Bisphenol, *J. Polym. Sci., Part B: Polym. Phys.*, **33**, 1353-1364, 1995.
6. Mohr J.M., Paul D.R., Tullos G.L. and Cassidy P.E., Gas Transport Properties of a Series of Poly(ether ketone) Polymers, *Polymer*, **32**, 2387-2394, 1991.
7. Aquilar-Vega M. and Paul D.R., Gas Transport Properties of Polyphenylene Ethers, *J. Polym. Sci., Part B: Polym. Phys.*, **31**, 1577-1589, 1993.
8. Chung T.S., Kafchinski E.R. and Foley P., Development of Asymmetric Hollow Fibers from Polyimides for Air Separation, *J. Membr. Sci.*, **75**, 181-195, 1995.
9. Stern S.A., Liu Y. and Feld W.A., Structure/Permeability Relationships of Polyimides with Branched or Extended Diamine Moieties, *J. Polym. Sci., Part B: Polym. Phys.*, **31**, 939-951, 1993.
10. Gajdos J., Galic' K., Kurtanek Z. and Cikovic' N., Gas Permeability and DSC Characteristics of Polymers Used in Food Packaging, *Polym. Test.*, **20**, 49-57, 2001.
11. Devallencourt C., Marais S., Saiter J.M., Labbe M. and Me'tayer M., Study of Transport of Small Molecules through Ethylene-*co*-Vinyl Acetate Copolymers Films, Part A: Water Molecules, *Polym. Test.*, **21**, 253-262, 2002.
12. Marais S., Saiter J.M., Devallencourt C., Nguyen Q.T. and Me'tayer M., Study of Transport of Small Molecules through Ethylene-*co*-Vinyl Acetate Copolymers Films, Part B: CO<sub>2</sub> and O<sub>2</sub> Gases, *Polym. Test.*, **21**, 425-431, 2002.
13. Marais S., Bureau E., Gouanve' F., Ben Salem E., Hirata Y., Andrio A., Cabot C. and Atmani H., Transport of Water and Gases through EVA/PVC Blend Films-permeation and DSC Investigations, *Polym. Test.*, **23**, 475-486, 2004.
14. Mousavi S.A., Roosta-Azad R., Ramazani A. and Ahamadi-Roshan M., Correlation of Nitrogen Enriching Polymeric Membranes Performance Developed through Various Methods with their Morphological Structure Revealed via SEM, *Iran. Polym. J.*, **15**, 291-298, 2006.
15. Ismail A.F. and Lorna W., Suppression of Plasticization in Polysulfone Membranes for Gas Separations by Heat-treatment Technique, *Separat. Purificat. Technol.*, **30**, 37-46, 2003.
16. Xu Z.K., Dannenberg C., Springer J., Banerjee S. and Maier G., Novel Poly(arylene ether) as Membranes for Gas Separation, *J. Membr. Sci.*, **205**, 23-31, 2002.
17. Orme C.J., Harrup M.K., Luther T.A., Lash R.P., Houston K. S., Weinkauf D.H. and Stewart F.F., Characterization of Gas Transport in Selected Rubbery Amorphous Polyphosphazene Membranes, *J. Membr. Sci.*, **186**, 249-256, 2001.
18. Koros W.J., Fleming G.K., Jordan S.M., Kim H.T. and Hoehn H.H., Polymeric Membrane Materials for Solution-diffusion Based Permeation Separations, *Prog. Polym. Sci.*, **13**, 339-401, 1988.
19. Stern S.A., Shah V.M. and Hardy B.J., Structure-permeability Relationships in Silicone Polymers, *J. Polym. Sci., Part B: Polym. Phys.*, **25**, 1263-1298, 1987.
20. Abdellah L., Boutevin B., Guida-Pietrasanta F. and Smahi M., Evaluation of Photocrosslinkable Fluorinated Polydimethylsiloxanes as Gas Permeation Membranes, *J. Membr. Sci.*, **217**, 295-298, 2003.
21. Senthilkumar U. and Reddy B.S.R., Structure-gas Separation Property Relationships of Non-ionic and Cationic Amino-hydroxy Functionalized Poly(dimethyl-siloxane) Membranes, *J. Membr. Sci.*, **232**, 73-83, 2004.
22. Wind J.D., Staudt-Bickel C., Paul D.R. and Koros W.J., Solid-state Covalent Crosslinking of Polyimide Membranes for Carbon Dioxide Plasticization Reduction, *Macromolecules*, **36**, 1882-1888, 2003.
23. Wind J.D., Staudt-Bickel C., Paul D.R. and Koros W.J., The Effects of Crosslinking Chemistry on CO<sub>2</sub> Plasticization of Polyimide Gas Separation Membranes, *Ind. Eng. Chem. Res.*, **41**, 6139-6148, 2002.
24. Wind J.D., Paul D.R. and Koros W.J., Natural Gas Permeation in Polyimide Membranes, *J. Membr. Sci.*, **228**, 227-236, 2004.